

5. 李樂周等: 無限平板의 條圓形 Crack을 가진 圓周圍의 應力分布에 關한 研究, 大韓機械學會誌, Vol. 15, No. 4 pp. 398~403(1975).
6. 川原正吉, 栗原正好: 表面き裂の疲労による傳播成長過程に関する豫備的考察, 日本造船學會 論文集, Vol. 137 pp. 297~306(1975).
7. 小寺澤良一, 南坂繁: 繰返し曲げによる非貫通疲労き裂の進展, 日本材料學會誌, Vol. 26, No. 289, pp. 955~961(1977).
8. 長谷部宣男, 上田稔: 段他ぐう角部にき裂を有する半無限板の面外曲げ, 日本機械學會, 論文集, Vol. 46, No. 409 pp. 985~989(1980).
9. 宋智浩: 破壊力學의 現況(Ⅱ), 大韓機械學會誌, Vol. 21, No. 1, pp. 10~20(1981).
10. ASM; Fractography and Atlas of fractography, Metal Handbook, Vol. 9, ASM, Ohio, pp. 49~62, 161~280(1975).
11. JWS; 鐵鋼溶接部の破面寫真集, 黒木出版社, 大阪, pp. 398~403(1975).
12. 比川英夫, 小寺澤良一: フラクトグラフィ, 破壊力學と材料強度講座, 培風館, 東京, pp. 79~121(1982).
13. 金澤, 町田, 糸賀: 表面缺陷からの疲労亀裂傳播特性について(第一報), 日本造船學會 論文集, Vol. 132, pp. 395(1972).
14. 向井喜彦, 山崎信二: 形狀不連續付平板の非貫通形缺陷に対する曲げ疲労壽命豫測(第一報), 日本造船學會 論文集, Vol. 151, pp. 245~254(1982).
15. David Broek; Elementary Engineering Fracture Mechanics, Sijthoff & Noordhoff, Netherlands, pp. 80~86(1978).
16. 金永直, 趙相明: 平均 금속 疲勞荷重에 의한 鋼溶接部의 모서리 균열 傳播特性, 大韓機械學會 論文集, Vol. 6, No. 3, pp. 232~238(1982).
17. 前掲書(11), p. 416~417.
18. 前掲書(15), pp. 48~53.
19. 村上裕則, 大南正瑛: 破壊力學入門, オーム社, 東京, pp. 141~143(1976).
20. H.O. FUCHS, R.I. STEPHENS; METAL FATIGUE IN ENGINEERING, A Wiley-Interscience Publication, New York, pp. 204~213(1980).
21. 前掲書(15) p. 259.

# 韓國沿岸에 있어서 Loran C (GRI-5970) 利用을 爲한 Lattice Table의 表值計算에 關한 研究

黃 仁 秀

A study on the Computation of Tabulated Values of  
Loran C (GRI-5970) Lattice Tables for Practical Use  
near the Korean Coast

*In-soo Hwang*

.....目 次.....

Abstract

記號說明

1. 序 論
2. Loran C의 測位原理 및 利用範圍
  - 2.1 Loran C의 測位原理
  - 2.2 韓國近海에서의 Loran C의 利用範圍
3. Loran C 表值計算의 理論解釋과 電算處理
  - 3.1 傳播經路長의 計算
    - 3.1.1 Anodyer-Lambert 式
    - 3.1.2 WGS-72 測地系의 境遇
  - 3.2 Loran C 電波의 傳播速度
  - 3.3 電算處理에 依한 表值計算
    - 3.3.1 Loran C 表值의 計算
    - 3.3.2 時間差 双曲線의 緯度 經度의 增分計算
4. 計算結果의 檢討 및 評價
  - 4.1 DMAHC Table과 計算結果의 比較
  - 4.2 計算結果를 利用한 位置線의 決定
5. 結 論
- 參考文獻
- 附錄, 計算結果
  1. Loran C Table (Pair; 5970-W)
  2. Loran C Table (Pair; 5970-X)
  3. Loran C Table (Pair; 5970-Y)

## ABSTRACT

Loran C, a long range navigation system obtaining vehicle's position by measuring the arrival time difference and the phase difference of the pulsed low frequency signals transmitted by different stations of the chain, is proved to be effective accurate navigational aid in coastal and off-shore routes. The GRI-9970 chain is available only in the south east coast of the Korean peninsula. Another chain, GRI-5970, is known to cover most of Korean coasts and off-shores, which U.S. Air Force, in charge of the control of this chain, does not open it for civilian use yet.

In this connection, this paper aimed to obtain Loran C (GRI-5970) lattice table for the extention of Loran C coverage for civilian use. The authors studied the theoretical analysis of various calculating formulas for the geodetic wave path length and the propagation velocity of Loran C wave, and programmed for mathematical calculation. To verify the reliability of the calculation, the table values of GRI-9970 chain is computed by the same program and compared it with those of DMAHC tables.

And then tables of GRI-5970 chain are calculated and by being compared with those of measured values at points of known positions proved to be satisfactory.

Concluding remarks of this paper are as follows:

- (1) The correction coefficient of Loran C propagation velocity is estimated as 0.99946.
- (2) Errors of calculated table values by the method proposed in this paper to the DMAHC tables are found to be within the range  $\pm 0.7$  minutes of latitude (or longitude) in case of GRI-9970.

(3) Fixed positions by the tables calculated of GRI-5970 were deviated by the range of 0.5~1.0 N miles, and those of GRI-9970 by the range of 0.5~5.1 N miles from the known position in Korean ports.

(4) From the abovementioned facts, the calculation method proposed in this paper is proved to be reasonable and effective, and the calculated tables will be useful to position fixing for merchant and fishing vessels near the Korean coasts.

## 記 號 說 明

- a: 地球楕圓體의 長半徑 ( $m$ )
- b: 地球楕圓體의 短半徑 ( $m$ )
- D: 傳播經路長 ( $m$ )
- DIF: 距離差 ( $m$ )
- $dif_1$ : 由從局址到 受信點까지 距離差 ( $m$ )

- $\text{dif}_2$ : 受信點의 緯度를 增加시킨 主從局부터 距離差 ( $m$ )
- DLA: 時間差 變化에 따른 緯度變化量
- DLo: 時間差 變化에 따른 經度變化量
- DLo: 兩 地點間의 變經 (deg)
- Dm: 受信點과 主局間의 距離 ( $m$ )
- Ds: 受信點과 從局間의 距離 ( $m$ )
- dt: 緯度增加에 따른 時間差의 變化量
- f: 扁平率
- L: 地理緯度 (deg)
- L<sub>1</sub>: 出發地點의 緯度 (deg)
- L<sub>2</sub>: 到着地點의 緯度 (deg)
- Lc: 地心緯度 (deg)
- MT: 基準時間差 ( $\mu\text{.sec}$ )
- P: 東西距
- Pm: 主局의 2次位相係數 ( $\mu\text{.sec}$ )
- Ps: 從局의 2次位相係數 ( $\mu\text{.sec}$ )
- S: 傾斜度
- T: 海上에서 傳播時間 ( $\mu\text{.sec}$ )
- Td: 受信機에서의 測定時間差 ( $\mu\text{.sec}$ )
- Tms: 主局에서 從局까지 傳播時間 ( $\mu\text{.sec}$ )
- Ts: 主從間의 發信時間差 ( $\mu\text{.sec}$ )
- Tsf: T동안의 2次位相係數 ( $\mu\text{.sec}$ )
- tm: 主局과 受信地點사이의 傳播時間 ( $\mu\text{.sec}$ )
- ts: 從局과 受信地點사이의 傳播時間 ( $\mu\text{.sec}$ )
- V: 傳播速度 ( $m/\mu\text{.sec}$ )
- $\delta$ : Coding delay ( $\mu\text{.sec}$ )
- $\theta_1$ : 地球中心에서 이루는 兩 地點間의 角距離 (rad)
- $\theta_2$ : 回轉橢圓體에 對한 修正值 (rad)
- $\theta'_1$ : 外接球上의 大圈距離 (rad)
- $\theta'_2$ : 回轉橢圓體에 對한 補正值 (rad)
- $\lambda$ : 經度 (deg)
- $\lambda_1$ : 出發地點의 經度 (deg)
- $\lambda_2$ : 到着地點의 經度 (deg)
- $\phi$ : 整約緯度 (deg)

## 1. 序 論

Loran (Long Range Navigation) C 시스템은 美國 Coast guard가 開發運營하고 있는 電波航法用 한국 해상 航路航法 시스템의 일환이다. 이 시스템은 알파인 주局 및 從局에서 평소 变調率 100KHz의 電波를 發射하고, 船舶에서는 폴스의 到達時間差 및 그 位相差를 同時 측定하여 그에 根據한 距離差를 求하는 方式이다. 地球上 어디에서나 使用可能한 오메가(Omega)航法와衛星航法裝置화는 달리, 此利用範圍은 美國 東西海岸, 北大西洋 해역과 日本(海上空域), 比較的 確定한 海域을 覆す다.<sup>1)</sup> 此에, 美國은 美國領海와 入港항구 船舶에 對하여 Loran C 受信機의 設置를 義務화하는 法令을 制定하고, 이에 對한 規制를 加하여 船舶는 설정되어 大部分의 遠洋舶의 Loran C 受信機를 搭載하고 있다.<sup>2)</sup>

但し, 韓國近海에서 利用可能한 電波航法 시스템은 极히 제한되어 있다. 디카(Decca) 方式은 日本에 設置되어 있는 7-C 체인(Chain)이 韓國南海岸 일부에서만 利用可能하고, 衛星航法 시스템은 全海域에서 利用可能하다. 측位間隔이 1~4시간이므로, 補助電波航法 裝置가 必要하며,<sup>3)</sup> 오메가 方式도 역시 位位置精度가 좋지 않아서, 大部分의 船舶는 Loran C에 依한 船位를 信賴, 選好하고 있는 現状이다. 그리고, Loran C 方式은 Northwest Pacific Chain (GRI-9970)과 Far East Chain(別名:Commando Lion:GRI-5970)의 極東地域에 設置, 運用되고 있으나, GRI-9970은 韓國南海岸 일부와 東海岸 일부에서만 利用可能하고, 그것도 空間波의 영향이甚하여 位位置精度가 낮을 現정이며, GRI-5970은 韓國近海 全海域에서 利用할 수 있으나, 이를 運用하고 있는 美空軍에서 이에 對한 利用資料(Table 및 chart)을 公開하고 있지 않고, Loran C Lattice Table 및 Loran Chart의 發明은 管掌하고 管理는 美國 DMAHC (Defence Mapping Agency Hydrographic Center에서 Table 作成에 關한 理論이나, 이의 事項 関連 資料는公開하고 있지 않다. 然而, GRI-5970을 利用할 수만 있다면, 電波航法方式가 角地帶에 該當하는 韓國近岸의 航法 및 漁撈에 크게 도움이 되리라 믿는다.

本論文은 非公式의 原理 알파인 GRI-5970 해안의 主局(浦項)과 從局(W:Hokkaido, X:光州, Y:Okinawa)의 位號 및 각 從局의 Coding delay를<sup>4)</sup> 利用하여 GRI-5970 해안의 Lattice Table을 作成함으로써, 韓國近海를 通航하는 船舶의 位位置決定에 도움을 주고자 한다.

研究方法은 Loran C 方式의 측位原理 및 向轉格函體인 地球上에서의 두 地點間의 距離計算에 對한 諸理論을 檢討하고, 이중 가장 有用한 方法을 选取하여, 數值解釋에 依한 Lattice Table 作成의 電算 計算方程을 作成하였고, 이 球算方程에 GRI-9970의 資料를 넣어서 用운 計算結果와 美國 DMAHC의 GRI-9970 Table과 比較를 하여, 이 球算方程의 稱當性을 確認하고, GRI-5970 해안의 Table을 作成하였다. 此에, 作成된 Table을 利用하여 位位置를 算出



## 2.2 韓國近海에서의 Loran C 利用範圍

Loran C의 転送受信範圍는 最大有效範圍(= 1,200海里(地表波))이나 愛信電力, 受信增益, 信號傳播路線의 損失에 따라 차이가 있다. D. 차운까지의 實船使用實績을 基礎로 GRI-9970[1]의 有效範圍은 그 그림과 實績과는 상당히 差異がある 것으로 보인다. GRI-5970[2]의 想有有效範圍은 直角座標系上에 그려진 地域이다. GRI-9970와 GRI-5970는 同時端端 사용할 때 각각의 有效範圍은 重疊되는 원형의 基礎로此線은 關節部를 通過하는相互補充의 원형으로 確保된다. 調査가 可能하며, 7.8° 아래 바라 抱拂할 때 有效範圍는 地圖上에 확장된다. 9) 일례로 GRI-5970와 GRI-9970의 각 送信局 位置와 Coding delay[1], [2]를 表한다.

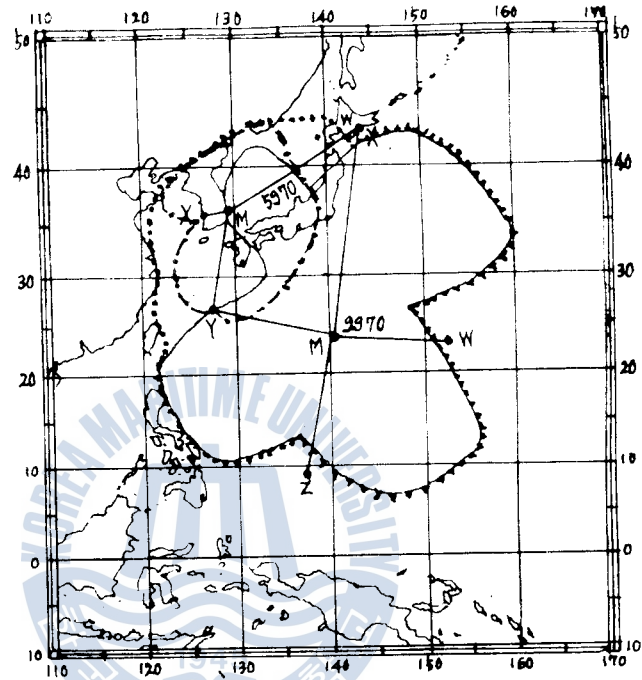


Figure 2. Loran C coverage near the Korean coasts.  
 - - - coverage of GRI-9970  
 - - - - predicted coverage of GRI-5970  
 ..... extended coverage by the use of the cross chain method of GRI-9970 and GRI-5970.

station	location	Ts( $\mu$ sec.)	coding delay ( $\mu$ sec.)	power (kw)	location(WGS-72)	
5970-M	POOHANG	-	-	35	36°11'05.80"N	129°20'27.28"E
W	HOKKAIDO	15783.79	11000	1000	42°44'37.00"N	143°43'09.06"E
X	KWANG JU	31947.02	31000	35	35°02'23.87"N	126°32'26.74"E
Y	GESASHI	45565.56	42000	1000	26°36'24.99"N	128°08'56.21"E
9970-M	IWO JIMA	-	-	1800	24°48'03.60"N	141°19'30.30"E
W	MARCUS	15283.94	11000	1800	24°17'07.89"N	153°58'53.23"E
X	HOKKAIDO	36685.12	30000	1000	42°44'37.10"N	143°43'09.25"E
Y	GESASHI	59463.18	55000	1000	26°36'24.98"N	128°08'56.45"E
Z	YAP	80746.79	75000	1000	09°32'45.79"N	139°09'54.97"E

Table 1. Coding delays, transmitting powers and locations of master and slave stations of GRI-5970 and GRI-9970.

### 3. Loran-C 表值計算의 理論解釋과 電算處理

#### 3.1 傳擇經路長의 計算

電波의 進行速度는 均一等方性媒質內에서 항상 一定하다. 地球表面 및 大氣를 之外 간의 媒質로 看做하면 地表波의 境遇, 送信局에서 受信点까지 最短距離를 傳播하게 된다. 地球를 貞球로 假定할 때, 地球表面上의 2地点間의 最短距離線은 大圓距離가 된다.<sup>10)</sup>

大圓距離는 球面三角法의 Cosine 法則 및 Sine과 Cosine의 余角關係를 利用하여 求할 수 있다.<sup>11)</sup>

$$\cos \theta_1 = \sin L_1 \sin L_2 + \cos L_1 \cos L_2 \cos (\lambda_1 - \lambda_2)$$

$$\theta_1 = \cos^{-1} (\sin L_1 \sin L_2 + \cos L_1 \cos L_2 \cos dL_0) \dots \dots \dots (5)$$

式 (5)에 依해 計算된 距離는 貞球上에서의 距離가므로 回轉橢圓體인 地球에 適用할 때는 補正이 必要하다. 美國 DMAHC가 Loran C의 Chart 및 Table 作成時에 使用한 基準橢圓體는 a 가 6,378,166m, 扁平率이 1/298.3인 Fisher 橢圓體인 것으로 알려지고 있으나,<sup>12)</sup> 傳播經路長을 求하는 式은 公開되어 있지 않다. 따라서 本 論文에서는 Andoyer-Lambert 式에 依한 方法과 WGS-72 測地系에서 一般的으로 使用하는 方式을 導入하여 이 문제를 檢討하고자 한다.

##### 3.1.1 Andoyer-Lambert 式

Clarke (1866年)의 回轉橢圓體 (扁平率  $f=1/294.98$ , 長半徑  $a=6,378,206m$ , 短半徑  $b=6,356,584m$ )가 地球의 모양을 正確히 나타낸다고 假定하면, 回轉橢圓體上에서의 距離는 다음 式 (6)에 依하여 求할 수 있다.<sup>13)</sup>

$$D = a(\theta_1 + \theta_2) \dots \dots \dots (6)$$

$$\theta_2 = \frac{f}{4} \left\{ \frac{(3\sin\theta_1 - \theta_1)(1+S+C)(1+S-C)}{1+\cos\theta_1} - \frac{(3\sin\theta_1 + \theta_1)(1-S+C)(1-S-C)}{1-\cos\theta_1} \right\} \dots \dots \dots (7)$$

단.  $S = \sin L_1 \sin L_2$

$C = \cos L_1 \cos L_2$

##### 3.1.2 WGS-72 測地系의 境遇

WGS-72 (World Geodetic System 1972) 楕圓體에서는 扁平率  $f=1/298.2657$ , 長半徑  $a=6,378,135m$ , 短半徑  $b=6,356,751m$  가 된다.<sup>6), 10)</sup>

그림 3에서 通常海圖나 地圖에서 使用하는 地理緯度를  $L$ , 地心緯度를  $L_{ce}$  를 하고,  $L$ 과  $L_c$

위의 関係를 求면 求할다.

地球上의 一點 P의 座標  $(x, y)$ 에 对하, 椭圓의 方程式

$$\frac{a^2}{x^2} + \frac{b^2}{y^2} = 1 \quad \dots\dots\dots\dots(8)$$

의 微分方程

$$\frac{dy}{dx} = -\frac{a^2 x}{b^2 y} = \tan\left(\frac{\pi}{2} + L\right) = -\cot L.$$

$$\frac{b^2 x}{a^2 y} = -\cot L.$$

$$y = \left(\frac{b^2}{a^2} \tan L\right) x \quad \dots\dots\dots\dots(9)$$

의 式  $(9)$

$(9)$  式과  $(8)$  式를 대入하면  $x$ 의 関하여 式를

$$x = \frac{a \cos L}{(1 - e^2 \sin^2 L)^{1/2}} \quad \dots\dots\dots\dots(10)$$

$$y = \frac{a(1-e^2)\sin L}{(1-e^2\sin^2 L)^{1/2}} \quad \dots\dots\dots\dots(11)$$

$$e^2, \quad e^2 = \frac{a^2 - b^2}{a^2}$$

의 式  $L$ , 地面에 有する 3에 서

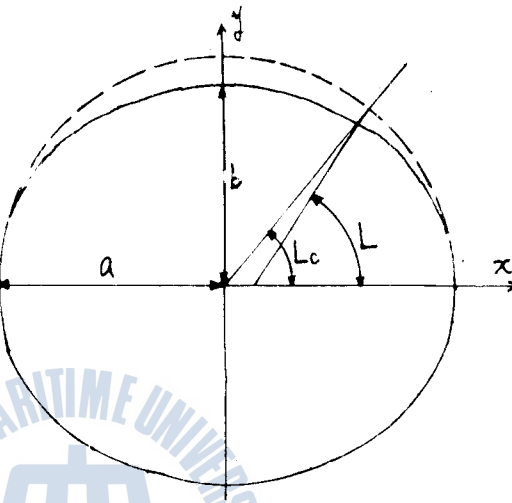


Figure 3. Schematic diagram of the geographic latitude  $L$  and the geocentric latitude  $L_c$ .

$$\tan L_c = \frac{y}{x} = \frac{a(1-e^2)\sin L}{a \cos L (1-e^2\sin^2 L)^{1/2}} = (1-e^2) \tan L = (1-f)^2 \tan L = \frac{b^2}{a^2} \tan L \quad \dots\dots\dots\dots(12)$$

의 関係를 求 수 있다. ⑩)

地球上의 回轉椭圓體는 偏半率이 고지 않으므로 現在一般的으로 使用하는 測地線(Geodetic Line) 計算時の 整約緯度(Reduced latitude)는 다음 式을 利用하여 求하고 있다. ⑪)

$$\tan \phi = (1-f) \tan L = \frac{b}{a} \tan L \quad \dots\dots\dots\dots(13)$$

$\phi_1, \phi_2$ 는  $L_1, L_2$ 의 整約緯度라 할 때, 外接球上에서의 大圓距離  $\theta'_1$  및 離心率의 작은 回轉椭圓체에 對한 補正項  $\theta'_2$ 는

$$\theta'_1 = \sin \phi_1 \sin \phi_2 + \cos \phi_1 \cos \phi_2 \cos (\lambda_1 - \lambda_2) \quad \dots\dots\dots\dots(14)$$

$$\theta'_2 = -\frac{f}{4} (\mu u + \nu v) \quad \dots\dots\dots\dots(15)$$

$$u = (\sin \phi_1 + \sin \phi_2)^2 / \sin^2 \theta'_1$$

$$\nu = (\sin \phi_1 - \sin \phi_2)^2 / \sin^2 \theta'_1$$

$$\mu = (1 - \cos \theta'_1)(\theta'_1 - \sin \theta'_1)$$

$$v = (1 + \cos \theta'_1)(\theta'_1 + \sin \theta'_1)$$

P.L.L. 예상 式에, ⑩, ⑪) 式을 利用하여 地球上에서의 通過路徑은 式 (6)에 依하여 求할 수 있다,

$$D = (\theta'_1 + \theta'_2) \dots \dots \dots \dots \dots \dots \dots \quad (6)$$

本論文에서는 現在 가장 많이 使用되고 있는 式 (4), (5), (6)과 WGS-72 濬地系를 依하여 Loran C 傳播經路長을 求하였고, Andoyer Lambert 式에 依하여 求한 經路長과 比較한結果 그 差異는 크지 않음을 確認하였다.

### 3.2 Loran C 電波의 傳播速度

現用 自動 Loran C 受信機가 送信 안테나로부터 地球表面을 따라 比較的 遠距離의 受信 안테나에 到達하는 地表波를 受信하도록 되어 있는 点을 감안하여, Loran C 表作成時 地表波에 對하여만 考慮하기로 한다. Loran C 電波의 傳播速度는 地球上에서의 平均値가 299.691  $m/\mu\text{sec}$ <sup>o</sup>나<sup>6)</sup>,<sup>14)</sup> 實際로 式 (4)로 計算되는 바와 같이 약간의 2次位相係數가 加해진다. 式 (4)는 傳播時間에 對한 補正値이나, 傳播速度에 速度補正係數 0.9994를 곱하여 速度補正을 해주어도 遠方系에서는 同一한 結果를 얻을 수 있다. 美國 DMAHC에서 使用한 速度補正係數를 알아내기 위하여, GRI-5970 및 GRI-9970의 主局과 各 從局間의 距離를 計算하고 이 主從局間距離와 표 1의 主從局間의 傳播時間을 利用하여, 各 境遇의 傳播速度를 求하였다. 그 結果 표 2에서 나타난 바와 같이 美國 DMAHC LoranC 表에서 使用한 平均傳播速度는 299.5296  $m/\mu\text{sec}$ <sup>o</sup>이며, 速度補正係數가 0.99946이 됨을 알 수 왔었다.

station	base line distance (metres)	$T_{S-\delta}$ ( $\mu\text{ sec.}$ )	propagation velocity deduced the DMAHC table ( $m/\mu\text{sec.}$ )
9970-W	1,283,156	4,283.94	299.4526
X	2,002,323	6,685.12	299.5194
Y	1,336,858	4,463.18	299.5304
Z	1,721,248	5,746.79	299.5147
5970-W	1,432,812	4,783.69	299.5002
X	283,713	947.02	299.5850
Y	1,067,994	3,565.56	299.5305
average velocity ( $m/\mu\text{ sec.}$ )	—	—	299.5296

Table 2. Computed values of the distance and the Loran C propagation velocity deduced from the DMAHC table.

### 3.3 電算處理에 依한 表值計算 (Flow chart)

Loran C 表의 表值計算을 為한 電算 프로그램은 FORTRAN 言語를 使用하였고, 프로그램의 主要部는 主 프로그램, 時間差 双曲線의 기울기( $dL/dt$ ,  $d\lambda/dt$ )를 求하는 2個의 數值解釋



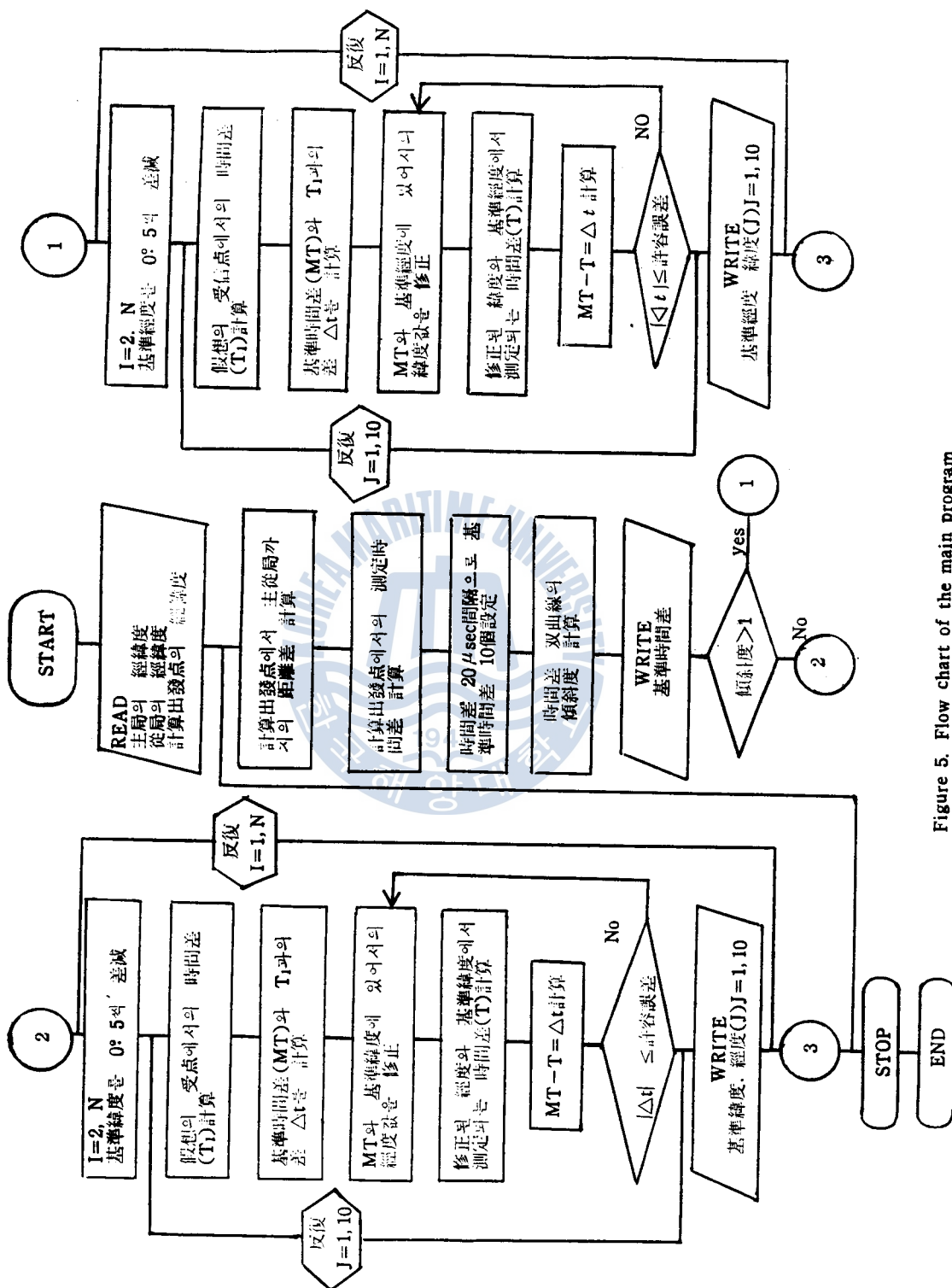


Figure 5. Flow chart of the main program

이 基準時間,  $S = 1.0$ 로, 10秒는 一定間隔으로 指定하고, 該當 時間差 及其緯度線을 지나는 地點의 緯度를 算出하는가를 試み았다. 地點의 緯度를 算出하는가를 試み았으며,  $S = 1.0$ 로 緯度는 一定間隔으로 指定하여 该當 時間差 及其曲線이 该當 緯度線을 지나는 地點의 緯度値을 算出する Table에 表示하였다.

上述의 理論及 計算은 計算原理나 方法와 同一한 바로,  $S = 1.0$ 로 時間差를 以하여 計算하기로 하여, 速率辨識은 出發地의 緯度를 初期値로 設定하였고, 이는 圖定된 10秒의 基準時間差에 依存하는 緯度값을 計算한 후에, 基準緯度値는 30'씩 減해 나가는 方法로 取하였다.

이 緯度線을 以하는 一定間隔의 緯度값을 計算하는 方法을 以자 圖定한 基準緯度와 出發地의 緯度는 初期値로 하여, 이 位置에서의 電波의 到達時間인  $T_1$ 을 計算하고, 이  $T_1$ 과 基準時間差를 以用하여 式 09와 같은 方法으로 基準時間差에 依어서의 緯度값을 求한다.

$$\lambda_1 = \{MT(1)-T_1\} \times \frac{d\lambda}{dt} + \lambda_0 \quad \dots \dots \dots (9)$$

但,  $\lambda$ : 出發地의 緯度

$MT(1)$ : 첫 번째 基準時間差

$\lambda_1$ :  $MT(1)$ 에서의 緯度値

式 09는 及其線의 直線이라는 假定하에 成立하는 Taylor級數의 一次項만을 고려한 것이다. 또로 Newton 法을 適用하여 基準緯度와  $\lambda_1$ 을 세로운 初期値로 하여 反復計算을 하여,  $|MT(1)-T_1|$ 가 許容誤差 0.01 μsec 以內가 되면 計算是 마치도록 하였다.

### 3.3.2 時間差 双曲線의 緯度·經度의 增分計算

副 地點으로 時間差 及其線에 依어서의 時間差의 增減에 따른 緯度값의 變化率과 緯度값의 變化量을 求하는 것이다. 이 計算의 同一한 方法을 取하였으므로 緯度의 時間差분을 中心으로 說明한다.

副 地點으로 依해서와 마찬가지로 上·從局으로 부터 어느 地點(假想의 受信点)까지의 距離差를 求하므로 假想의 受信地의 緯度를 微小量(實際計算時は  $1 \times 10^{-6}$ radian) 增加시키, 다시 上·從局으로 부터의 距離差를 求한다. 이 두 距離差의 差는 緯度의 微小量增加에 따른 距離差의 變化量이며, 이를 Loran C 電波의 傳播速度로 나누면, 緯度의 微小變化에 따른 時間差의 變化量을 求할 수 있고, 이들間의 關係는 다음 式 00으로 表示된다.

$$D_{LV} = dL/dt \quad \dots \dots \dots (10)$$

$$dt = (dif_2 - dif_1) / v$$

上記 計算의 Flow chart는 Fig. 6, 7과 같다.

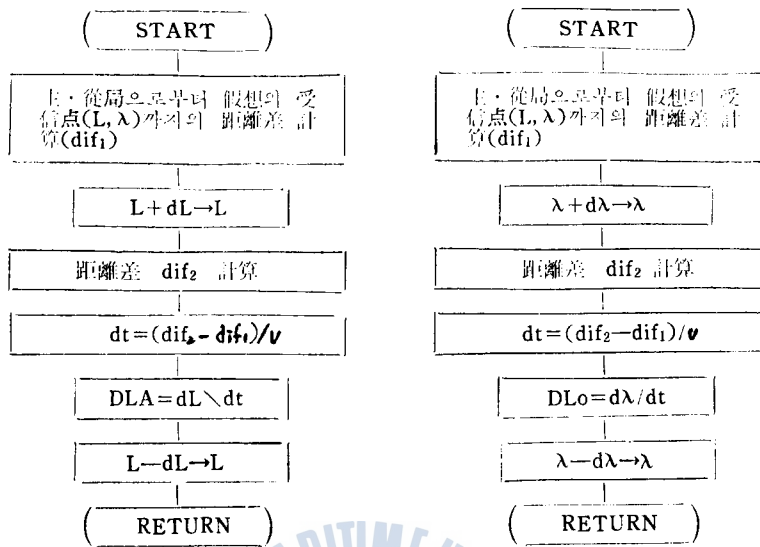


Figure 6. Flow chart of the subroutine for calculation of  $L/dt$

Figure 7. Flow chart of the subroutine for the calculation of  $d\lambda/dt$ .

#### 4. 計算 結果의 檢討 및 評價

韓國沿近海 全域을 網羅하는 Loran C Pair 5970-w, 5970-X, 5970-Y에 對한 Lattice Table은 너무 役大한 量이 되어 本 論文에 全部 收錄할 수 없으므로 計算結果中 一部만 拔萃하여 附錄하였고, 追後 事情이 許諾하면 別冊으로 發刊하고자 한다.

本 研究에 依한 計算結果의 妥當性與否를 判定하기 為하여, DMAHC에서 發行한 GRI-9970 Table中의 一部를 本文에 表로써 插入하여 本 研究에서 計算한 表值와 比較하였고, 位置가 알려진 場所에서 測定한 Loran C 체인 GRI-5970의 時間差와 計算結果를 利用하여 位置線을 作圖하고 計算結果의 實用性을 評價하였다.

##### 4.1 DMAHC Table에 依한 計算結果의 比較

計算結果의 妥當性을 確認하기 為하여 現在 一般商船에 公開되어 使用中인 GRI-9970 체인의 Pair 9970-X와 9970-Y에 對한 資料를 GRI-5970 Table 作成을 為한 電算 프로그램에 通여 計算을 하였고, 이 計算結果의 一部를 표 5와 표 6에 表示하였으며, DMAHC에서 發行한 現用 9970-X, 9970-Y의 Table中 표 5와 표 6의 該當地域을 拔萃한 것을 표 3과 표 4에 表示하였다. 표 3과 표 5, 표 4와 표 6을 比較한 結果, 9970-X는  $\pm 0'.1$  以內의 誤差, 9970-Y는  $\pm 0'.7$  以內의 誤差로써, 本 論文에서 試圖한 電算 프로그램에 依한 計算의 妥當性을 確證할 수 있었다.

9970-X

36320			36340			36360			36380			T
o	,	Δ	o	,	Δ	o	,	Δ	o	,	Δ	Long
33	55.6N	- 8	33	53.8N	- 8	33	52.1N	- 8	33	50.4N	- 8	146 E
34	01.8N	- 8	34	00.1N	- 8	33	58.4N	- 8	33	56.7N	- 8	145 E
34	07.7N	- 8	34	06.1N	- 8	34	04.5N	- 8	34	02.8N	- 8	144 E
34	13.5N	- 8	34	11.8N	- 8	34	10.2N	- 8	34	08.6N	- 8	143 E
34	19.0N	- 8	34	17.3N	- 8	34	15.7N	- 8	34	14.1N	- 7	142 E
34	24.2N	- 8	34	22.6N	- 8	34	20.9N	- 8	34	19.2N	- 8	141 E
34	29.2N	- 8	34	27.6N	- 8	34	25.9N	- 8	34	24.2N	- 8	140 E
34	33.9N	- 8	34	32.2N	- 8	34	30.5N	- 8	34	28.8N	- 8	139 E
34	38.4N	- 8	34	36.6N	- 8	34	34.8N	- 8	34	33.1N	- 8	138 E
34	42.5N	- 9	34	40.7N	- 9	34	38.9N	- 9	34	37.1N	- 8	137 E
34	46.3N	- 9	34	44.4N	- 9	34	42.6N	- 9	34	40.7N	- 9	136 E
34	49.8N	- 9	34	47.8N	- 9	34	45.9N	- 9	34	44.0N	- 9	135 E
34	53.0N	- 10	34	50.9N	- 10	34	48.9N	- 10	34	46.8N	- 10	134 E
34	55.8N	- 10	34	53.6N	- 10	34	51.4N	- 10	34	49.3N	- 10	133 E
34	58.1N	- 11	34	55.9N	- 11	34	53.6N	- 11	34	51.4N	- 11	132 E
35	00.0N	- 11	34	57.7N	- 11	34	55.4N	- 11	34	53.1N	- 11	131 E
35	01.6N	- 12	34	59.2N	- 12	34	56.8N	- 12	34	54.3N	- 12	130 E
35	02.8N	- 12	35	00.2N	- 12	34	57.6N	- 12	34	55.1N	- 12	129 E
35	03.5N	- 13	35	00.9N	- 13	34	58.2N	- 13	34	55.5N	- 13	128 E
35	03.8N	- 14	35	00.9N	- 13	34	58.2N	- 13	34	55.4N	- 13	127 E

Table 3. Extracted Loran C lattice table. 15)  
( pair 9970-X; published by the DMAHC )

9970-Y

T	57110	57120	57130	57140					
<i>Lat</i>									
o	,	Δ	o	,					
31	N	130 41.4E	14	130 42.8E	13	130 44.2E	14	130 45.7E	14
32	N	130 20.0E	16	130 21.6E	16	130 23.2E	15	130 24.8E	16
33	N	129 55.7E	18	129 57.5E	17	129 59.3E	18	130 01.2E	18
34	N	129 29.0E	20	129 31.0E	20	129 33.0E	20	129 35.1E	20
35	N	129 00.1E	22	129 02.4E	22	129 04.7E	23	129 07.0E	22
36	N	128 29.4E	25	128 31.9E	25	128 34.5E	25	128 37.1E	25
37	N	127 56.9E	28	127 59.7E	28	128 02.6E	28	128 05.3E	27
38	N	127 22.7E	30	127 25.8E	30	127 28.9E	31	127 32.0E	30
39	N	126 46.9E	33	126 50.3E	33	126 53.7E	34	126 57.1E	33
40	N	126 09.5E	37	126 13.1E	36	126 16.8E	36	126 20.5E	36
41	N	125 30.3E	40	125 34.3E	39	125 38.2E	39	125 42.2E	39
42	N	124 49.4E	43	124 53.8E	43	124 58.1E	42	125 02.4E	42
43	N	124 06.7E	46	124 11.4E	46	124 16.1E	46	124 20.8E	46
44	N	123 27.1E	50	123 27.2E	50	123 32.2E	50	123 37.2E	50

Table 4. Extracted Loran C lattice table. 16)  
( pair 9970-Y; published by the DMAHC )

				36400
				36380
				36360
				36340
				36320
				36300
120	0.0E	34	56.5N	34 49.2N
120	30.0E	34	58.0N	34 50.8N
121	0.0E	34	59.3N	34 54.4N
121	30.0E	35	0.6N	34 57.1N
122	0.0E	35	1.7N	34 58.3N
122	30.0E	35	2.7N	34 59.4N
123	0.0E	35	3.6N	34 0.3N
123	30.0E	35	4.3N	34 1.1N
124	0.0E	35	5.0N	34 1.9N
124	30.0E	35	5.5N	34 2.5N
125	0.0E	35	6.0N	34 2.9N
125	30.0E	35	6.3N	34 3.3N
126	0.0E	35	6.5N	34 3.6N
126	30.0E	35	6.6N	34 3.7N
127	0.0E	35	6.5N	34 3.7N
127	30.0E	35	6.4N	34 3.5N
128	0.0E	35	6.1N	34 3.5N
128	30.0E	35	5.8N	34 3.2N
129	0.0E	35	5.3N	34 2.8N
129	30.0E	35	4.8N	34 2.3N
130	0.0E	35	4.1N	34 1.6N
130	30.0E	35	3.3N	34 0.9N
131	0.0E	35	2.4N	34 0.0N
131	30.0E	35	1.4N	34 3.4N
132	0.0E	35	0.3N	34 5.8.1N
132	30.0E	34	5.9.2N	34 57.0N
133	0.0E	34	57.9N	34 55.7N
133	30.0E	34	56.5N	34 54.4N
134	0.0E	34	55.0N	34 53.0N
134	30.0E	34	53.4N	34 51.4N
				34 49.4N
				34 47.4N
				34 45.6N
				34 41.9N
				34 43.7N
				34 45.3N
				34 46.8N
				34 50.2N
				34 51.5N
				34 54.9N
				34 52.7N
				34 50.5N
				34 51.5N
				34 52.4N
				34 53.2N
				34 56.3N
				34 59.4N
				34 56.9N
				34 59.9N
				34 57.4N
				34 57.8N
				34 58.0N
				34 58.2N
				34 58.2N
				34 58.1N
				34 58.0N
				34 58.0N
				34 57.7N
				34 57.7N
				34 57.3N
				34 56.7N
				34 56.7N
				34 53.7N
				34 55.4N
				34 57.7N
				34 54.6N
				34 56.8N
				34 55.9N
				34 58.1N
				34 52.6N
				34 51.5N
				34 52.0N
				34 50.1N
				34 50.9N
				34 51.5N
				34 52.0N
				34 52.8N
				34 52.8N
				34 52.3N
				34 52.6N
				34 52.6N
				34 52.7N
				34 52.7N
				34 52.8N
				34 52.8N
				34 52.8N
				34 51.9N
				34 51.3N
				34 50.7N
				34 50.7N
				34 50.0N
				34 49.1N
				34 48.2N
				34 47.2N
				34 46.0N
				34 44.8N
				34 44.8N
				34 43.4N

Table 5. Computed table values (pair 9970-X)

	57100	57120	57140	57160	57180	57200
4.4	0.ON	12.3 17.0E	12.3 27.1E	12.3 47.1E	12.3 57.0E	12.4 67.0E
4.3	30.ON	12.3 39.7E	12.3 49.5E	12.3 59.2E	12.4 29.9E	12.4 39.1E
4.2	30.ON	12.4 1.9E	12.4 11.3E	12.4 20.7E	12.4 41.7E	12.4 50.6E
4.2	0.ON	12.4 23.7E	12.4 32.7E	12.4 41.7E	12.4 50.E	12.4 59.4E
4.2	0.ON	12.4 45.0E	12.4 53.7E	12.5 2.3E	12.5 10.9E	12.5 19.4E
4.1	30.ON	12.5 5.8E	12.5 14.2E	12.5 22.5E	12.5 30.7E	12.5 38.9E
4.1	0.ON	12.5 26.2E	12.5 34.2E	12.5 42.2E	12.5 50.1E	12.5 58.0E
4.0	30.ON	12.5 46.2E	12.5 53.9E	12.6 1.5E	12.6 9.1E	12.6 16.7E
4.0	0.ON	12.6 5.7E	12.6 13.1E	12.6 20.4E	12.6 27.7E	12.6 34.9E
3.9	30.ON	12.6 24.8E	12.6 31.9E	12.6 38.9E	12.6 45.9E	12.6 52.8E
3.9	0.ON	12.6 43.5E	12.6 50.3E	12.6 57.0E	12.7 3.7E	12.7 10.4E
3.8	30.ON	12.7 1.8E	12.7 8.3E	12.7 14.7E	12.7 21.1E	12.7 27.5E
3.8	0.ON	12.7 19.7E	12.7 25.9E	12.7 32.0E	12.7 38.1E	12.7 44.2E
3.7	30.ON	12.7 37.1E	12.7 43.0E	12.7 48.9E	12.7 54.7E	12.7 60.5E
3.7	0.ON	12.7 54.2E	12.7 59.8E	12.8 5.4E	12.8 11.0E	12.8 16.5E
3.6	30.ON	12.8 10.8E	12.8 16.1E	12.8 21.5E	12.8 26.8E	12.8 32.0E
3.6	0.ON	12.8 26.9E	12.8 32.1E	12.8 37.2E	12.8 42.2E	12.8 47.2E
3.5	30.ON	12.8 42.7E	12.8 47.5E	12.8 52.3E	12.8 57.1E	12.9 1.9E
3.5	0.ON	12.8 58.0E	12.9 2.6E	12.9 7.1E	12.9 11.7E	12.9 16.2E
3.4	30.ON	12.9 12.8E	12.9 17.1E	12.9 21.4E	12.9 25.7E	12.9 30.0E
3.4	0.ON	12.9 27.1E	12.9 31.2E	12.9 35.3E	12.9 39.3E	12.9 43.4E
3.3	30.ON	12.9 40.8E	12.9 44.7E	12.9 48.6E	12.9 52.4E	12.9 56.6E
3.3	0.ON	12.9 54.0E	12.9 57.7E	13.0 1.3E	13.0 5.0E	13.0 8.6E
3.2	30.ON	13.0 6.6E	13.0 10.1E	13.0 13.5E	13.0 16.9E	13.0 20.3E
3.2	0.ON	13.0 18.6E	13.0 21.8E	13.0 25.0E	13.0 28.2E	13.0 31.4E
3.1	30.ON	13.0 29.8E	13.0 32.8E	13.0 35.8E	13.0 38.8E	13.0 41.8E
3.1	0.ON	13.0 40.2E	13.0 43.0E	13.0 45.9E	13.0 48.7E	13.0 51.5E
3.0	30.ON	13.0 49.7E	13.0 52.4E	13.0 55.0E	13.0 57.6E	13.0 60.3E
3.0	0.ON	13.0 58.2E	13.1 0.7E	13.1 3.2E	13.1 5.7E	13.1 8.1E
2.9	30.ON	13.1 5.6E	13.1 7.9E	13.1 10.3E	13.1 12.6E	13.1 14.9E

Table 6. Computed table values (page 9970-Y)

## 4.2 計算結果를 利用한 位置線의 決定

韓國 南西岸에 位置한 木浦와 南東岸에 位置한 釜山에서 數回에 걸쳐 GRI-5970 채인과 9970 채인의 여러 Pair의 時間差를 Loran C 自動受信機에 依하여 測定하였다. 이들 各各 Cross chain 法에 依하여 位置線을 作圖하였다.

① 受信位置: 木浦  $34^{\circ}47.'3$  N

$126^{\circ}22.'0$  E

受信機 TDL-708 Teledyne Marine Microlocator

測定日時 1983. 11. 2 10000H, 1500H

1983. 11. 5 1100H, 1430H

測定置 5970-Y 47607.5  $\mu$ sec

9970-Y 56475.5  $\mu$ sec

② 受信位置: 釜山  $35^{\circ} 04.'3$  N

$129^{\circ} 05.'5$  E

受信機 JRC JNA-710

測定日時 1983. 11. 11 1100 H, 1500 H

1983. 11. 19 0930 H, 1145 H

測定置 5970-X 32305.9  $\mu$  sec

5970-Y 48305.1  $\mu$  sec

9970-X 36349.5  $\mu$  sec

9970-Y 57130.8  $\mu$  sec

上記 두 境遇를 本 論文의 計算結果에 依하여 位置線을 作圖하면, 그림 8, 9와 같다. 木浦港의 位置는 5970-W와 5970-X의 基線延長線 附近이 되어 利用不可하므로, 5970-Y와 9970-Y와의 Cross chain 法에 依하여 位置를 決定하였다. 그 結果, 5970-Y와 9970-Y의 位置線이 各各 0.5마일 정도 偏位되어 있으며, 決定된 位置는 既知의 測定位置로부터 約 1.3마일 誤差를 나타났다.

釜山港에서는 5970-X, 5970-Y에 依한 Loran C fix와 9970-X와 9970-Y에 依한 fix를 求하였다. 5970-X와 5970-Y의 位置線은 各各 1.0, 0.5마일 정도 偏位되었고, 9970-X와 9970-Y는 各各 5.1, 1.9마일 程度의 位置線偏位가 있음을 알았고, 이들의 位置誤差는 各各 0.9, 5.3 마일로 나타났다.

上記와 같은 9970 채인의 誤差는 測定地點이 9970 채인의 地表波의 利用範圍를 벗어나서 있

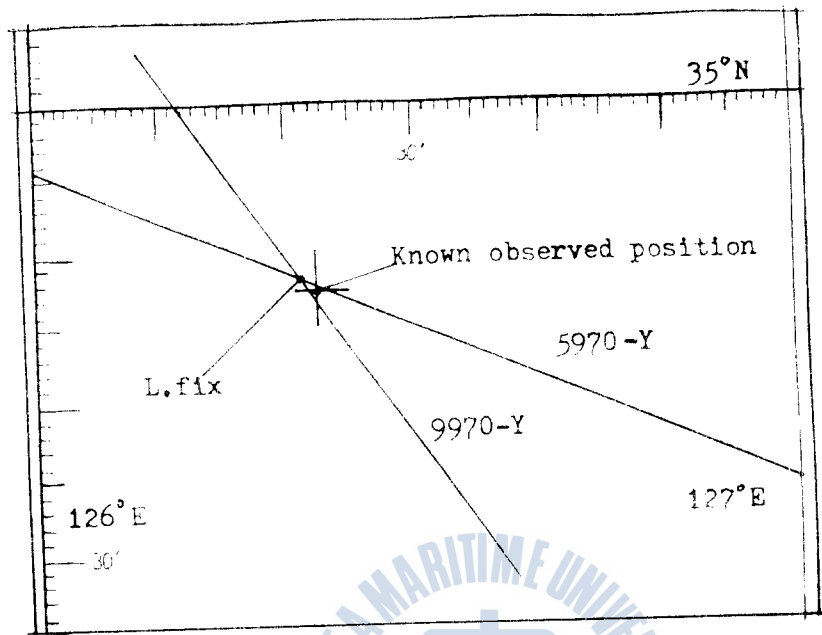


Figure 8. Position fixing of Loran C by the cross chain method at the port of Mokpo.

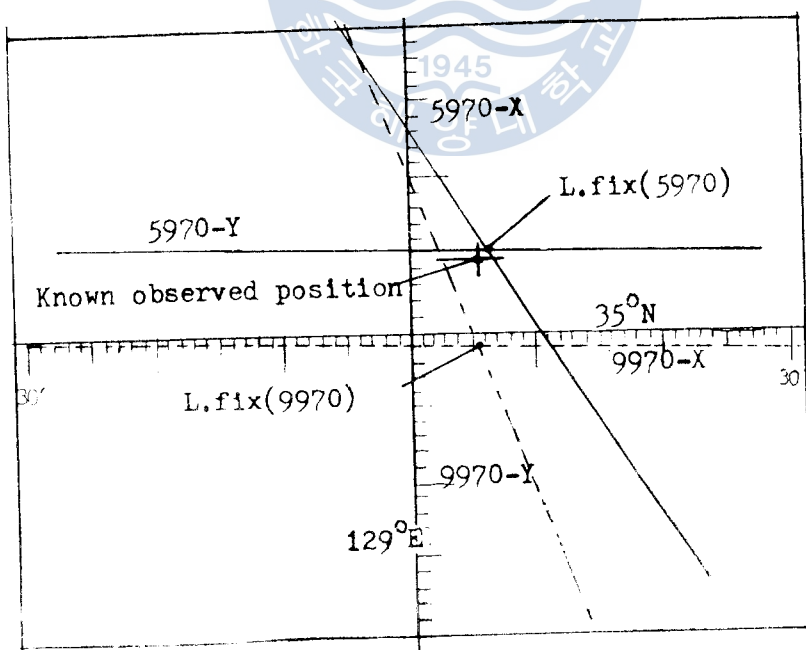


Figure 9. Position fixing of Loran C by GRI-5970 and GRI-9970 in the port of Pusan.

기 때문에 發生하고 있다. 따라서, 韓國沿岸에 있어서는 5970 체인을 利用하는 것이 有利한 것으로 判斷된다.

以上의 結果로써, 本 論文에서 提示한 Loran C Table의 表值計算方法이 完全히 可靠할 수 있는 結果는 아니라 하더라도 充分히 實用的이고, 이에 依하여 作成된 Loran C Lattice Table은 商船 및 漁船의 韓國沿岸 航行 or 漁撈時 位置決定 方法의 精度를 높이고, 測定位置의 精度 向上에 크게 寄與할 수 있겠다.

## 5. 結論

以上의 理論解譯과 電算結果의 分析에 依하여 다음과 같은 結論을 얻었다.

- (1) Loran C 電波의 海上傳播速度 및 2次位相係數를 GRI-9970의 資料에서 逆算한 結果, 速度補正係數가 0.99946임을 찾아 내었고, 이 係數를 使用하고 WGS-72 測地系의 測地線計算方法을 利用하여, Loran C Lattice Table의 表值을 計算하고, 이를 DMAHC의 Table과 比較하여 誤差  $\pm 0'.7$  以內의 精度로 計算됨을 알 수 있었다. 이 結果는, 本 論文의 採擇한 計算法과 傳播速度補正係數의 妥當性을 立證한다.
- (2) Computer에 依하여 計算된 GRI-5970의 Lattice Table을 利用하고, 位置가 알려진 數個 地點에서 實測한 時間差의 位置線을 作圖한 結果, 受信位置로부터  $0'.5 \sim 1'.0$  程度 偏位되어 있음을 알았다.
- (3) GRI-9970에 依한 位置線이  $0'.5 \sim 5'.1$  偏位되어 있음과 比較하면 一般船舶의 韓國沿近海 航海 또는 漁撈時 Loran C 5970 체인을 利用하여 位置決定手段의 不足함을 補完할 수 있음을 뿐 아니라 位置線의 精度向上에도 寄與할 수 있으리라 思料된다.
- (4) 船舶 動員의 어려움으로 本 論文의 計算結果의 確認은 位置가 알려진 陸上受信機器을 利用하였으므로, 進後 韓國近海 여러 場所에서 實測한 時間差를 菘集하여 作成된 Loran C 5970 체인의 表值을 研究 補完하고자 한다.

## 參 考 文 獻

1. 頭版書: 電波航法, 韓國海洋大學海事圖書出版社, 釜山, PP. 170~171, P242( 1980).
2. Bowditch: American Practical Navigator, Vol 1, DMAHC, PP. 998~1002 (1977).
3. 木村小一: 船舶電子航法 ノート(62), 船の科學, Vol. 35, 3號, 1982-2, PP. 80~85 (1982).
4. 今津重馬: 双曲線航法 システム(2), 船長 コース, 第290號, PP. 61~62 (1982).
5. 今津重馬: 双曲線航法 システム(3), 船長 コース, 第291號, PP. 72~78 (1982).
6. 木村小一: 船舶電子航法 ノート(67), 船の科學, Vol. 35, 6號, 1982-7, PP. 106~111 (1982).
7. 吉本幸雄: ロラン受信機 (4), 電波と受験, 第32卷, 第5號, PP. 55~57 (1982).
8. 関藤清隆 外: ロテンCの 伝播測度による補正とその効果について—Ⅱ, 日本航海科学論文集, 第67號, PP. 109~111 (1982).
9. 吉本幸雄: ロラン受信機 (5), 高波と受験, 第32卷, 第6號, PP. 49~55 (1982).
10. 今津重馬: 地球の形狀と電波傳播, 船長 コース, 第287號, PP. 73~76 (1982).
11. 尹汝政: 地文航海學, 韓國海洋大學海事圖書出版社, 釜山, PP. 4~8, PP. 168~169, P193 (1975).
12. 電波航法研究會: 双曲線航法, 海文堂, 東京, PP. 61~70 (1977).
13. 金東一: Omega波 传输補正と精度に関する研究, 韩國海洋大學論文集, 第14輯, PP. 160~161 (1979).
14. 木村小一: 船舶電子航法 ノート(70), 船の科學, Vol. 35, 9號, 1982-12, PP. 74~78 (1982).
15. Loran-C Table, LC pub. 221 2007(Pair 9970-X) DMAHC, (1978) USA.
16. Loran-C Table, LC pub. 221 2007(Pair 9970-Y) DMAHC, (1978) USA.

## 附 錄

### 計算結果

1. Loran C Table (Pair 5970-W)
2. Loran C Table (Pair 5970-X)
3. Loran C Table (Pable 5970-Y)

42	0.ON	132 4.5E	132 1.3E	131 58.0E	131 54.8E	131 51.5E	131 48.2E
41	30.ON	132 36.2E	132 33.2E	132 30.1E	132 27.1E	132 24.0E	132 21.0E
41	0.ON	133 6.4E	133 3.5E	133 0.7E	132 57.8E	132 54.9E	132 52.1E
40	30.ON	133 35.0E	133 32.3E	133 29.6E	133 26.9E	133 24.2E	133 21.5E
40	0.ON	134 2.2E	133 59.6E	133 57.0E	133 54.4E	133 51.8E	133 49.2E
39	30.ON	134 27.8E	134 25.3E	134 22.8E	134 20.3E	134 17.8E	134 15.3E
39	0.ON	134 52.0E	134 49.6E	134 47.1E	134 44.7E	134 42.3E	134 39.8E
38	30.ON	135 14.9E	135 12.5E	135 10.1E	135 7.7E	135 5.3E	135 2.9E
38	0.ON	135 36.5E	135 34.1E	135 31.7E	135 29.3E	135 26.9E	135 24.6E
37	30.ON	135 56.9E	135 54.5E	135 52.1E	135 49.8E	135 47.4E	135 45.0E
37	0.ON	136 16.3E	136 13.9E	136 11.5E	136 9.1E	136 6.7E	136 4.3E
36	30.ON	136 34.7E	136 32.3E	136 29.8E	136 27.4E	136 24.9E	136 22.5E
36	0.ON	136 52.3E	136 49.8E	136 47.3E	136 44.8E	136 42.3E	136 39.8E
35	30.ON	137 9.2E	137 6.6E	137 4.0E	137 1.5E	136 58.9E	136 56.3E
35	0.ON	137 25.3E	137 22.7E	137 20.0E	137 17.4E	137 14.7E	137 12.1E
34	30.ON	137 40.9E	137 38.2E	137 35.4E	137 32.7E	137 30.0E	137 27.3E
34	0.ON	137 55.9E	137 53.1E	137 50.3E	137 47.5E	137 44.7E	137 41.8E
33	30.ON	138 10.5E	138 7.6E	138 4.6E	138 1.7E	137 58.8E	137 55.9E
33	0.ON	138 24.6E	138 21.6E	138 18.6E	138 15.6E	138 12.5E	138 9.5E
32	30.ON	138 38.3E	138 35.2E	138 32.1E	138 29.0E	138 25.9E	138 22.8E
32	0.ON	138 51.7E	138 48.5E	138 45.3E	138 42.0E	138 38.8E	138 35.6E
31	30.ON	139 4.8E	139 1.4E	138 58.1E	138 54.8E	138 51.5E	138 48.1E
31	0.ON	139 17.5E	139 14.1E	139 10.7E	139 7.2E	139 3.8E	139 0.4E
30	30.ON	139 30.0E	139 26.5E	139 22.9E	139 19.4E	139 15.8E	139 12.3E
30	0.ON	139 42.3E	139 38.6E	139 35.0E	139 31.3E	139 27.6E	139 24.0E
29	30.ON	139 54.3E	139 50.5E	139 46.8E	139 43.0E	139 39.2E	139 35.5E
29	0.ON	140 6.1E	140 2.2E	139 58.3E	139 54.5E	139 50.6E	139 46.7E
28	30.ON	140 17.8E	140 13.7E	140 9.7E	140 5.7E	140 1.7E	139 57.7E
28	0.ON	140 29.2E	140 25.1E	140 20.9E	140 16.8E	140 12.7E	140 8.6E
27	30.ON	140 40.4E	140 36.2E	140 32.0E	140 27.7E	140 23.5E	140 19.3E

		16900	16920	16940	16960	16980	17000
42	0.ON	131 31.5E	131 28.1E	131 24.7E	131 21.2E	131 17.8E	131 14.3E
41	30.ON	132 5.4E	132 2.2E	131 59.1E	131 55.9E	131 49.5E	131 49.5E
41	0.ON	132 37.5E	132 34.5E	132 31.6E	132 28.6E	132 25.6E	132 22.6E
41	30.ON	133 7.7E	133 4.9E	133 2.1E	132 59.3E	132 56.5E	132 53.7E
40	30.ON	133 36.1E	133 33.5E	133 30.8E	133 28.2E	133 25.5E	133 22.9E
40	0.ON	134 2.7E	134 0.2E	133 57.7E	133 55.1E	133 52.6E	133 50.0E
39	30.ON	134 27.6E	134 25.2E	134 22.7E	134 20.3E	134 17.8E	134 15.4E
39	0.ON	134 46.1E	134 43.7E	134 40.3E	134 37.7E	134 34.1E	134 31.3E
38	30.ON	134 50.9E	134 48.5E	134 46.1E	134 43.7E	134 41.3E	134 38.9E
38	0.ON	135 12.7E	135 10.3E	135 7.9E	135 5.6E	135 3.2E	135 0.8E
37	30.ON	135 33.1E	135 30.7E	135 28.4E	135 26.0E	135 23.6E	135 21.2E
37	0.ON	135 52.3E	135 49.9E	135 47.5E	135 45.1E	135 42.7E	135 40.3E
36	30.ON	136 10.3E	136 7.9E	136 5.5E	136 3.0E	136 0.6E	135 58.2E
36	0.ON	136 27.4E	136 24.9E	136 22.4E	136 20.0E	136 17.5E	136 15.0E
35	30.ON	136 43.6E	136 41.0E	136 38.5E	136 36.0E	136 33.4E	136 30.9E
35	0.ON	136 59.0E	136 56.4E	136 53.8E	136 51.2E	136 48.6E	136 46.0E
34	30.ON	137 13.7E	137 11.0E	137 8.4E	137 5.7E	137 3.0E	137 0.3E
34	0.ON	137 27.9E	137 25.1E	137 22.3E	137 19.6E	137 16.8E	137 14.0E
33	30.ON	137 41.5E	137 38.6E	137 35.7E	137 32.9E	137 30.0E	137 27.2E
33	0.ON	137 54.6E	137 51.6E	137 48.7E	137 45.7E	137 42.8E	137 39.8E
32	30.ON	138 7.3E	138 4.3E	138 1.2E	137 58.1E	137 55.1E	137 52.0E
32	0.ON	138 19.6E	138 16.5E	138 13.3E	138 10.1E	138 7.0E	138 3.8E
31	30.ON	138 31.6E	138 28.4E	138 25.1E	138 21.8E	138 18.5E	138 15.3E
31	0.ON	138 43.3E	138 39.9E	138 36.5E	138 33.1E	138 29.8E	138 26.4E
30	30.ON	138 54.7E	138 51.2E	138 47.7E	138 44.2E	138 40.7E	138 37.2E
30	0.ON	139 5.8E	139 2.2E	138 58.6E	138 55.0E	138 51.4E	138 47.8E
29	30.ON	139 16.7E	139 13.0E	139 9.3E	139 5.5E	139 1.8E	139 8.2E
29	0.ON	139 27.4E	139 23.6E	139 19.7E	139 15.9E	139 12.1E	139 18.1E
28	30.ON	139 37.9E	139 33.9E	139 30.0E	139 26.0E	139 22.1E	139 18.1E
28	0.ON	139 48.2E	139 44.1E	139 40.0E	139 34.5E	139 31.9E	139 27.8E
27	30.ON	139 58.3E	139 54.1E	139 49.9E	139 45.7E	139 41.5E	139 37.4E

	17100	17120	17140	17160	17180	17200	5970-W
42	0.ON	130 56.6E	130 53.0E	130 49.4E	130 45.7E	130 42.0E	130 38.3E
41	30.ON	131 33.1E	131 29.8E	131 26.5E	131 23.1E	131 19.7E	131 16.3E
41	0.ON	132 7.4E	132 4.4E	132 1.3E	131 58.2E	131 55.0E	131 51.9E
40	30.ON	132 39.5E	132 36.7E	132 33.8E	132 30.9E	132 28.0E	132 25.1E
40	0.ON	133 9.5E	133 6.8E	133 4.1E	133 1.3E	132 58.6E	132 55.9E
39	30.ON	133 37.3E	133 34.7E	133 32.1E	133 29.5E	133 21.0E	133 24.4E
39	0.ON	134 3.0E	134 0.6E	133 58.1E	133 55.6E	133 53.1E	133 50.6E
38	30.ON	134 26.9E	134 24.5E	134 22.1E	134 19.7E	134 17.3E	134 14.8E
38	0.ON	134 49.0E	134 46.6E	134 44.2E	134 41.9E	134 39.5E	134 37.1E
37	30.ON	135 9.4E	135 7.1E	135 4.7E	135 2.3E	134 60.0E	134 57.6E
37	0.ON	135 28.4E	135 26.1E	135 23.7E	135 21.3E	135 19.0E	135 16.6E
36	30.ON	135 46.2E	135 43.8E	135 41.4E	135 39.0E	135 36.6E	135 34.2E
36	0.ON	136 2.7E	136 0.3E	135 57.9E	135 55.4E	135 53.0E	135 50.5E
35	30.ON	136 18.3E	136 15.8E	136 13.3E	136 10.8E	136 8.3E	136 5.8E
35	0.ON	136 33.0E	136 30.5E	136 27.9E	136 25.3E	136 22.8E	136 20.2E
34	30.ON	136 47.0E	136 44.3E	136 41.7E	136 39.0E	136 36.4E	136 33.7E
34	0.ON	137 0.2E	136 57.5E	136 54.8E	136 52.0E	136 49.3E	136 46.6E
33	30.ON	137 12.9E	137 10.1E	137 7.3E	137 4.4E	137 1.6E	136 58.8E
33	0.ON	137 25.1E	137 22.2E	137 19.2E	137 16.3E	137 13.4E	137 10.5E
32	30.ON	137 36.8E	137 33.7E	137 30.7E	137 27.7E	137 24.7E	137 21.6E
32	0.ON	137 48.1E	137 44.9E	137 41.8E	137 38.7E	137 35.5E	137 32.4E
31	30.ON	137 59.0E	137 55.7E	137 52.5E	137 49.3E	137 46.0E	137 42.8E
31	0.ON	138 9.5E	138 6.2E	138 2.9E	137 59.5E	137 56.2E	137 52.8E
30	30.ON	138 19.8E	138 16.4E	138 12.9E	138 9.5E	138 6.0E	138 2.6E
30	0.ON	138 29.8E	138 26.3E	138 22.7E	138 19.1E	138 15.6E	138 12.0E
29	30.ON	138 39.6E	138 35.9E	138 32.2E	138 28.6E	138 24.9E	138 21.2E
29	0.ON	138 49.2E	138 45.4E	138 41.6E	138 37.8E	138 34.0E	138 30.2E
28	30.ON	138 58.5E	138 54.6E	138 50.7E	138 46.8E	138 42.9E	138 38.9E
28	0.ON	139 7.6E	139 3.6E	138 59.6E	138 55.6E	139 51.5E	138 47.5E
27	30.ON	139 16.6E	139 12.5E	139 8.3E	139 4.2E	139 0.0E	138 55.9E

		5970-X	31900
			4.9 54.0N
			4.9 29.2N
			4.9 3.9N
115	0.0E	4.7 19.8N	4.8 37.9N
115	30.0E	4.6 58.5N	4.8 56.3N
116	0.0E	4.6 36.8N	4.8 24.8N
116	30.0E	4.6 14.8N	4.7 31.7N
117	0.0E	4.5 52.3N	4.7 44.1N
117	30.0E	4.5 29.3N	4.6 19.5N
118	0.0E	4.5 6.0N	4.5 54.4N
118	30.0E	4.4 42.0N	4.5 54.4N
119	0.0E	4.4 17.7N	4.5 28.8N
119	30.0E	4.3 52.9N	4.5 2.7N
120	0.0E	4.3 27.6N	4.4 36.0N
120	30.0E	4.3 1.8N	4.5 20.4N
121	0.0E	4.2 35.4N	4.2 53.6N
121	30.0E	4.2 8.6N	4.2 25.8N
122	0.0E	4.1 41.2N	4.1 57.3N
122	30.0E	4.1 13.3N	4.1 28.3N
123	0.0E	4.0 44.8N	4.0 58.6N
123	30.0E	4.0 15.7N	4.0 28.4N
124	0.0E	3.9 46.1N	3.9 57.6N
124	30.0E	3.9 15.8N	3.9 26.0N
125	0.0E	3.8 44.8N	3.8 53.8N
125	30.0E	3.8 13.1N	3.8 20.8N
126	0.0E	3.7 40.5N	3.7 47.0N
126	30.0E	3.7 6.8N	3.7 12.0N
127	0.0E	3.6 31.2N	3.6 35.3N
127	30.0E	3.5 51.5N	3.5 55.0N
128	0.0E	3.5 1.4N	3.5 5.8N
128	30.0E	3.3 55.2N	3.4 3.2N
129	0.0E	3.2 38.9N	3.2 52.2N
129	30.0E	3.1 17.4N	3.1 36.5N

5970-X	32100	32080	32060	32040
49 0.ON	119 1.0E	119 33.2E	120 4.7E	120 35.6E
48 30.ON	119 26.3E	120 27.0E	120 56.4E	121 25.2E
48 0.ON	119 51.2E	120 48.8E	121 16.7E	121 44.1E
48 30.ON	120 15.5E	121 10.2E	121 36.7E	122 2.7E
47 0.ON	120 39.3E	121 51.5E	121 31.1E	122 20.8E
47 0.ON	121 2.6E	121 27.4E	121 51.6E	122 15.1E
46 30.ON	121 25.5E	121 48.8E	122 11.7E	122 45.1E
46 0.ON	121 47.8E	122 9.8E	122 31.3E	123 1.5E
45 30.ON	122 9.8E	122 30.4E	122 50.6E	123 30.0E
45 0.ON	122 31.3E	122 50.6E	123 9.5E	123 46.4E
44 30.ON	122 52.3E	123 10.4E	123 28.1E	124 2.6E
44 0.ON	123 13.1E	123 29.9E	123 45.5E	124 2.6E
43 30.ON	123 33.3E	123 49.0E	124 4.3E	124 18.6E
43 0.ON	123 53.3E	124 7.7E	124 21.9E	124 34.2E
42 30.ON	124 12.9E	124 26.2E	124 39.2E	124 49.6E
42 0.ON	124 32.2E	124 44.3E	124 56.3E	125 4.7E
41 30.ON	124 51.2E	125 2.2E	125 13.1E	124 19.6E
41 0.ON	125 9.8E	125 19.8E	125 29.6E	124 34.3E
40 30.ON	125 28.2E	125 37.1E	125 45.9E	125 23.8E
40 0.ON	125 46.3E	125 54.1E	126 1.9E	125 39.2E
39 30.ON	126 4.1E	126 11.0E	126 17.8E	125 48.8E
39 0.ON	126 21.7E	126 27.6E	126 33.5E	126 3.0E
38 30.ON	126 39.0E	126 44.1E	126 49.0E	126 19.6E
38 0.ON	126 56.3E	127 0.4E	127 4.5E	126 24.5E
37 30.ON	127 13.4E	127 16.8E	127 20.1E	126 31.1E
37 0.ON	127 30.6E	127 33.3E	127 36.0E	126 50.6E
36 30.ON	127 48.1E	127 50.4E	127 52.7E	127 5.0E
36 0.ON	128 6.4E	128 8.6E	128 10.9E	127 59.5E
35 30.ON	128 25.4E	128 28.0E	128 30.6E	127 16.6E
35 0.ON	128 44.9E	128 48.1E	128 51.4E	128 54.7E
34 30.ON	128 51.4E			129 1.6E

5970-X

	32220	32240	32260	32280	32300	32320
44	0.0N	125 57.3E	126 13.3E	126 29.3E	126 45.2E	127 17.3E
43	30.0N	126 5.5E	126 20.5E	126 35.4E	126 50.3E	127 20.3E
43	0.0N	126 13.7E	126 27.5E	126 41.4E	126 55.3E	127 23.2E
42	30.0N	126 21.7E	126 34.5E	126 47.4E	127 0.2E	127 13.1E
42	0.0N	126 29.6E	126 41.4E	126 53.3E	127 5.1E	127 17.0E
41	30.0N	126 37.4E	126 48.3E	126 59.1E	127 10.0E	127 20.9E
41	0.0N	126 45.2E	126 55.1E	127 5.0E	127 14.9E	127 24.8E
40	30.0N	126 52.8E	127 1.8E	127 10.7E	127 19.7E	127 28.7E
40	0.0N	127 0.5E	127 8.1E	127 15.2E	127 22.3E	127 29.4E
39	30.0N	127 8.1E	127 15.7E	127 22.0E	127 28.2E	127 35.4E
39	0.0N	127 15.7E	127 23.5E	127 28.8E	127 34.2E	127 40.7E
38	30.0N	127 23.5E	127 31.4E	127 32.9E	127 40.5E	127 45.0E
38	0.0N	127 31.4E	127 39.7E	127 43.5E	127 47.2E	127 52.0E
37	30.0N	127 39.7E	127 48.8E	127 51.8E	127 54.9E	127 57.9E
37	0.0N	127 48.8E	128 1.8E	128 12.8	128 17.4E	128 21.0E
36	30.0N	127 59.3E	128 5.3E	128 15.2E	128 17.4E	128 19.6E
36	0.0N	128 12.9E	128 12.9E	128 15.2E	128 17.4E	128 21.7E
35	30.0N	128 31.7E	128 34.1E	128 36.6E	128 39.0E	128 41.5E
35	0.0N	128 56.3E	128 59.4E	128 59.4E	128 6.0E	129 9.5E
34	30.0N	129 24.6E	129 28.8E	129 33.2E	129 37.8E	129 42.6E
34	0.0N	129 54.6E	130 0.0E	130 5.8E	130 11.7E	130 18.0E
33	30.0N	130 25.2E	130 32.0E	130 39.0E	130 46.4E	130 54.2E
33	0.0N	130 56.0E	131 4.0E	131 12.4E	131 21.2E	131 30.5E
32	30.0N	131 26.6E	131 35.9E	131 45.7E	131 55.9E	132 6.6E
32	0.0N	131 57.0E	132 7.6E	132 18.6E	132 30.2E	132 42.4E
31	30.0N	132 27.0E	132 38.9E	132 51.2E	133 4.2E	133 17.8E
31	0.0N	132 56.7E	133 9.8E	133 23.5E	133 37.8E	133 52.8E
30	30.0N	133 26.1E	133 40.4E	133 55.3E	134 10.9E	134 27.3E
30	0.0N	133 55.1E	134 10.6E	134 26.7E	134 43.6E	135 1.3E
29	30.0N	134 23.8E	134 40.4E	134 57.7E	135 15.9E	135 34.9E





48000	48020	48040	48060	48080	5970-Y	48100
38 0.0E	38 20.2N	38 31.4N	38 37.1N	38 43.0N	38 49.0N	38 49.0N
122 30.0E	37 59.6N	38 4.8N	38 10.1N	38 15.5N	38 21.0N	38 26.6N
123 0.0E	37 39.2N	37 44.0N	37 48.9N	37 54.0N	37 59.1N	38 4.4N
123 30.0E	37 18.9N	37 23.4N	37 27.9N	37 32.6N	37 37.4N	37 42.3N
124 0.0E	36 58.9N	37 3.0N	37 7.3N	37 11.6N	37 16.0N	37 20.5N
124 30.0E	36 39.3N	36 43.1N	36 47.0N	36 51.0N	36 55.0N	36 59.2N
125 0.0E	36 20.3N	36 23.8N	36 27.4N	36 31.0N	36 34.7N	36 38.4N
125 30.0E	36 2.2N	36 5.4N	36 8.6N	36 11.8N	36 15.1N	36 18.5N
126 0.0E	35 45.1N	35 47.9N	35 50.8N	35 53.7N	35 56.7N	35 59.7N
126 30.0E	35 29.3N	35 31.9N	35 34.4N	35 37.0N	35 39.7N	35 42.3N
127 0.0E	35 15.2N	35 17.5N	35 19.7N	35 22.0N	35 24.4N	35 26.7N
127 30.0E	35 3.0N	35 5.0N	35 7.1N	35 9.1N	35 11.2N	35 13.3N
128 0.0E	34 53.1N	34 54.9N	34 56.8N	34 58.6N	35 0.5N	35 2.4N
128 30.0E	34 45.7N	34 47.4N	34 49.1N	34 50.8N	34 52.5N	34 54.2N
129 0.0E	34 40.9N	34 42.5N	34 44.2N	34 45.8N	34 47.4N	34 49.1N
129 30.0E	34 38.8N	34 40.4N	34 42.0N	34 43.6N	34 45.3N	34 46.9N
130 0.0E	34 39.2N	34 40.8N	34 42.5N	34 44.2N	34 45.9N	34 47.6N
130 30.0E	34 41.9N	34 43.7N	34 45.5N	34 47.3N	34 49.1N	34 50.9N
131 0.0E	34 46.7N	34 48.6N	34 50.6N	34 52.5N	34 54.5N	34 56.5N
131 30.0E	34 53.2N	34 55.3N	34 57.5N	34 59.6N	35 1.7N	35 3.9N
132 0.0E	35 1.2N	35 3.5N	35 5.8N	35 8.2N	35 10.5N	35 12.9N
132 30.0E	35 10.3N	35 12.9N	35 15.4N	35 18.0N	35 20.6N	35 23.2N
133 0.0E	35 20.4N	35 23.2N	35 26.0N	35 28.8N	35 31.6N	35 34.5N
133 30.0E	35 31.3N	35 34.3N	35 37.3N	35 40.4N	35 43.5N	35 46.6N
134 0.0E	35 42.7N	35 45.9N	35 49.2N	35 52.5N	35 55.9N	35 59.3N
134 30.0E	35 54.6N	35 58.1N	36 1.6N	36 5.2N	36 8.8N	36 12.5N
135 0.0E	36 6.8N	36 10.5N	36 14.3N	36 18.1N	36 22.0N	36 25.9N
135 30.0E	36 19.3N	36 23.3N	36 27.3N	36 31.3N	36 35.5N	36 39.7N
136 0.0E	36 32.0N	36 36.2N	36 40.4N	36 44.7N	36 49.1N	36 53.6N
136 30.0E	36 44.8N	36 49.2N	36 53.7N	36 58.3N	37 2.9N	37 7.7N



# 高張力鋼材 大入熱 熔接部의 機械的 特性變化에 關한 研究

## 裴 且 憲

A Study on the Mechanical Properties in High Heat Input Welds of High Strength Steels.

*Cha-hun Bae*

.....(目次).....

### Abstract

### 1. 序 言

### 2. 實驗方法

### 3. 實驗結果 및 考察

#### 3 · 1 大入熱 熔接時의 热싸이를 및 組織變化

#### 3 · 2 熔接 본드部의 機械的 特性變化

#### 3 · 3 热싸이를 變化에 따른 본드部의 機械的 特性變化

### 4. 結 論

### 5. 參考文獻

### 後 記